

## پترولوزی بازالت آلکالن تویره، شاهدی بر ولکانیسم الیگوسن درون صفحه قاره‌ای در شمال‌غرب خردقاره شرق-ایران مرکزی، جنوب‌غرب جندق

ثمینه رجبی و قدرت ترابی \*

گروه زمین‌شناسی، دانشکده علوم، دانشگاه اصفهان، اصفهان، ایران

### چکیده

در شمال‌غرب خردقاره شرق-ایران مرکزی (CEIM) در جنوب‌غرب جندق، بازالت آلکالن تویره به سن الیگوسن با امتداد شمال‌غربی-جنوب‌شرقی تا شرقی-غربی رخنمون دارد. این آلکالی‌بازالت با بافت پورفیریتیک، پویی کیلیتیک و میکرولیتیک پورفیریتیک دارای کانی‌های اولیه ایوین (کریسولیت)، کلینوپیروکسن (دیوپسید-اویت)، پالازیوکلاز (لابرادوریت) و اسپینل و کانی‌های ثانویه مگنتیت تیتان‌دار، سرپانتین و زئولیت است. این بازالت از عناصر آلکالی ( $\text{Na}_2\text{O} + \text{K}_2\text{O}$ )،  $\text{TiO}_2$ ،  $\text{Rb}$  و  $\text{Cs}$ ،  $\text{Ba}$ ،  $\text{Nb}$  و  $\text{Hf}$  HFSE و  $\text{La/Yb}$  LREE/HREE نسبت بالای ( $\text{La/Yb} = 9/64$ ؛  $12/68$ ) است. ترکیب شیمیابی این سنگ‌ها بیانگر آن است که ماقمای سازنده بازالت آلکالن تویره حاصل ذوب بخشی یک گارنت‌لرزولیت کربنات در گوشته آستنوسفری است. موقعیت زمینی‌شناسی منطقه نشان می‌دهد که فرورانش صفحه اقیانوسی اطراف CEIM در امتداد گسل کویر بزرگ از تریاس تا ائوسن عامل متازوماتیزم کربناته و باروری گوشته شده است. وجود زنولیت و زنوكریست فراوان و بافت‌های واکنشی آنها در این آلکالی‌بازالت بیانگر سرعت بالای صعود آن است. عملکرد گسل‌های کویر بزرگ و تویره در یک رژیم کششی درون صفحه قاره‌ای می‌تواند عامل ولکانیسم آلکالن الیگوسن در شمال‌غرب CEIM باشد.

**واژه‌های کلیدی:** بازالت آلکالن، الیگوسن، زنوكریست، جندق، خردقاره شرق-ایران مرکزی

(Hofmann, 1997). این بازالت‌ها در جزایر اقیانوسی و ریفت‌های قاره‌ای گزارش شده‌اند (Turner and Hawkesworth, 1995). غنی‌شدنگی از  $\text{TiO}_2$ , عناصر آلکالی ( $\text{Na}_2\text{O} + \text{K}_2\text{O}$ )، HFSE و LILE و  $\text{Eu}$  بالای LREE/HREE و عدم وجود آنومالی منفی از ویژگی بازالت‌های آلکالن جزایر اقیانوسی است. بررسی‌ها

### مقدمه

ماگمای سازنده سنگ‌های بازالتی، ماگمای اولیه و یا با تغییرات اندک است که در اثر ذوب سنگ‌های پریدوتیتی در شرایط گوشته تشکیل می‌شود. بازالت‌های آلکالن حاصل تبلور ماگمایی است که بدون تفرق در خور توجه با سرعت صعود بالا به سطح زمین رسیده‌اند (Spera, 1984) و از این رو اطلاعات زیادی در خصوص

و جنوب‌غرب توسط گسل دهشیر-بافت و در جنوب (Almasian ۱۹۹۷؛ Rajabi, ۱۹۹۷؛ Davoudzadeh, ۲۰۱۰؛ Shirdashtzadeh *et al.*, ۲۰۱۱؛ Torabi, ۲۰۱۰؛ Rajabi and Torabi, ۲۰۱۲؛ Torabi *et al.*, ۲۰۱۱) بازالت کوه تویره که در این پژوهش بررسی می‌شود در حاشیه شمال‌غربی CEIM قرار دارد (شکل ۱). این سنگ‌ها با امتداد شمال‌غربی-جنوب‌شرقی تا شرقی-غربی با عرض ۴۰۰ تا ۲۰۰ متر و طول حدود ۲۵۰۰ متر (شکل ۲) بر روی ماسه‌سنگ‌ها و کنگلومراهای ائوسن-الیگوسن قرار گرفته‌اند (شکل ۳). تعیین سن این بازالت‌ها با روش K-Ar سن ۳۳ میلیون سال را نشان می‌دهد که بیانگر اوایل الیگوسن است (Aistov *et al.*, ۱۹۸۴). بررسی زمین‌شناسی منطقه تویره تاکنون محدود به پژوهه تکنواکسپورت بوده است. گسل کویر بزرگ و در جنوب‌غرب آن گسل تویره مهمترین و نزدیک‌ترین گسل‌ها به منطقه بررسی شده است (شکل ۲) که نقش مؤثری را در خروج بازالت تویره ایفا نموده‌اند. در شمال‌شرق منطقه بررسی شده سازند فلیشی پیس کوه رخنمون دارد. سنگ‌های ولکانیک ائوسن گودار سیاه) و همچنین، شمال‌شرق کوه تویره قرار دارد (شکل ۲). Mahmoodabadi (۲۰۰۹) با بررسی پتروگرافی و ژئوشیمی سنگ‌های ولکانیک ائوسن در کوه گودار سیاه نشان داده است که ماقمای سازنده این سنگ‌ها ماهیت کالک‌آلکالن پتاسیم بالاتا شوشنونیتی دارد و حاصل فوران در یک کمان ولکانیکی است. Torabi (۲۰۱۰) نفوذ دایک‌های لامپروفیری الیگوسن (Aistov *et al.*, ۱۹۸۴) با روند تقریبی شمالی-جنوبی را در سازند پیس کوه و ولکانیک‌های کوه گودار سیاه گزارش نموده است (شکل ۲). گرانودیوریت‌های ائوسن بالای نیز در شمال‌شرق کوه تویره مشاهده می‌شود (شکل ۲).

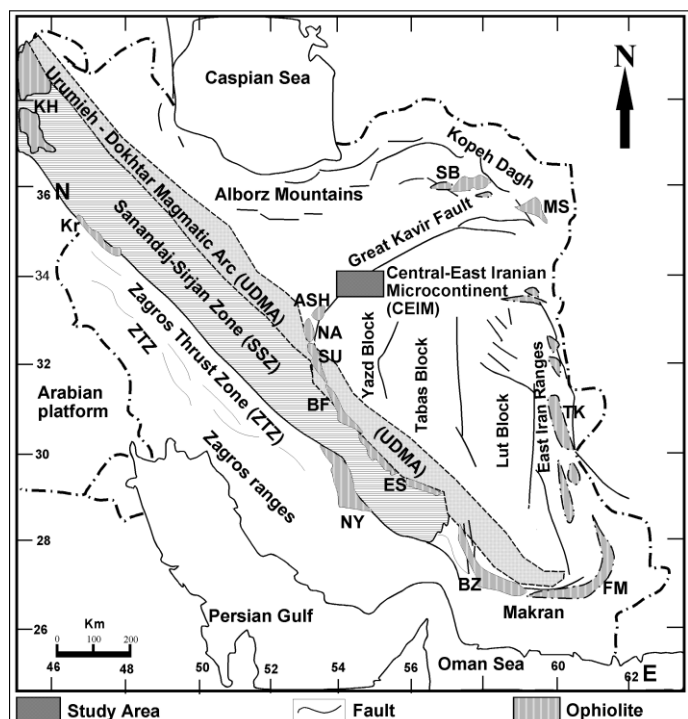
نشان داده است که بازالت‌های آلکالن قاره‌ای نسبت به همارزهای اقیانوسی تنوع ترکیبی بیشتری دارد. این ویژگی ناشی از تأثیر لیتوسفر قاره‌ای در مسیر رسیدن ماقماً به سطح زمین است (Yan and Zhao, 2008). مانندًا بازالت‌های درون صفحه قاره‌ای به ذوب گوشه نشان داده است (Yan and Zhao, 2008). صعود سریع بازالت‌های آلکالن باعث می‌شود که قطعاتی از سنگ‌های مسیر خود را از گوشه و پوسته به صورت زنولیت و زنوكریست با خود حمل نماید و به سطح زمین برساند. این قطعات پنجره‌ای مستقیم در ارزیابی ماهیت پوسته و گوشه و شرایط صعود ماقمای میزان آنها است (Mc Griffin *et al.*, 1999؛ Donough, 1990) در شمال‌شرق استان اصفهان (کوه تویره، جنوب‌غرب جندق) و حاشیه شمال‌غربی خردقاره شرق‌ایران مرکزی (CEIM) بازالت‌های آلکالن الیگوسن (با روش K-Ar؛ Aistov *et al.*, 1984) رخنمون دارد. این بازالت‌ها زنولیت‌های گوشه و زنوكریست‌های پلاژیوکلاز و ارتوبیروکسن با بافت‌های واکنشی در اطرافشان دارد. بررسی این بازالت‌ها در تعیین ماهیت ولکانیسم الیگوسن شمال‌غرب CEIM و نحوه صعود ماقمای سازنده آنها کارآمد است. در پژوهش حاضر، برای نخستین بار به بررسی ماهیت این بازالت و زنوكریست‌های موجود در آنها پرداخته می‌شود.

### زمین‌شناسی منطقه

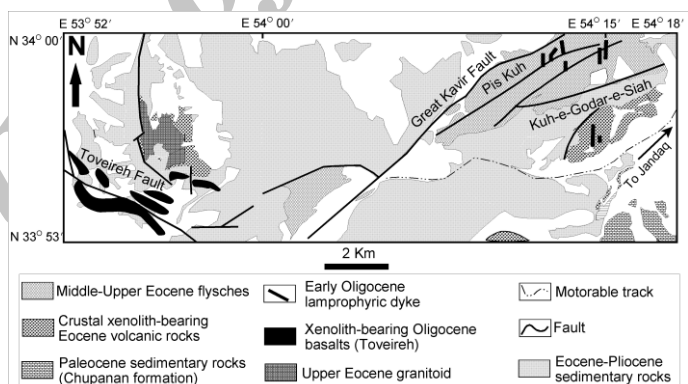
مهمنترین واحدهای ساختاری ایران عبارتند از: پهنه زاگرس، پهنه سندج-سیرجان، کمان ماقمایی ارومیه-دختر، خردقاره شرق‌ایران مرکزی، البرز، کپه داغ، شرق ایران و مکران (شکل ۱). از CEIM مهمترین واحدهای ساختاری ایران است که از اطراف توسط افیولیت‌های مزوژوئیک-ترسیر، که بقایای اقیانوس نئوتیس است و گسل‌های اصلی (از طرف شمال توسط گسل کویر بزرگ، به سمت غرب

شکل ۱- واحدهای ساختاری مهم ایران (بر گرفته از Tucker و Ramezani ۲۰۰۳) با تغییرات) و موقعیت منطقه بررسی شده. مخفف‌های به کار رفته برای نام افیولیت‌ها مطابق زیر است:

KH: Khoy; KR: Kermanshah; NY: Neyriz; BZ: Band Ziarat; NA: Naein; BF: Baft; ES: Esfandagheh; FM: Fanuj-Maskutan; TK: Tchehel Kureh; MS: Mashhad; SB: Sabzevar; ASH: Ashin; SU: Surk.



شکل ۲- نقشه زمین‌شناسی ساده شده منطقه جنوب‌غرب جندق. کوه تویره با اغراق نشان داده شده است.



شکل ۳- (A) تصویر صحرايی از موقعیت قرارگیری بازالت آلکالن تویره روی ماسه سنگ‌های اوسن-الیگوسن. (B) تصویری از زویلیت درون بازالت.

## پتروگرافی و شیمی کانی‌ها باالت آلکان

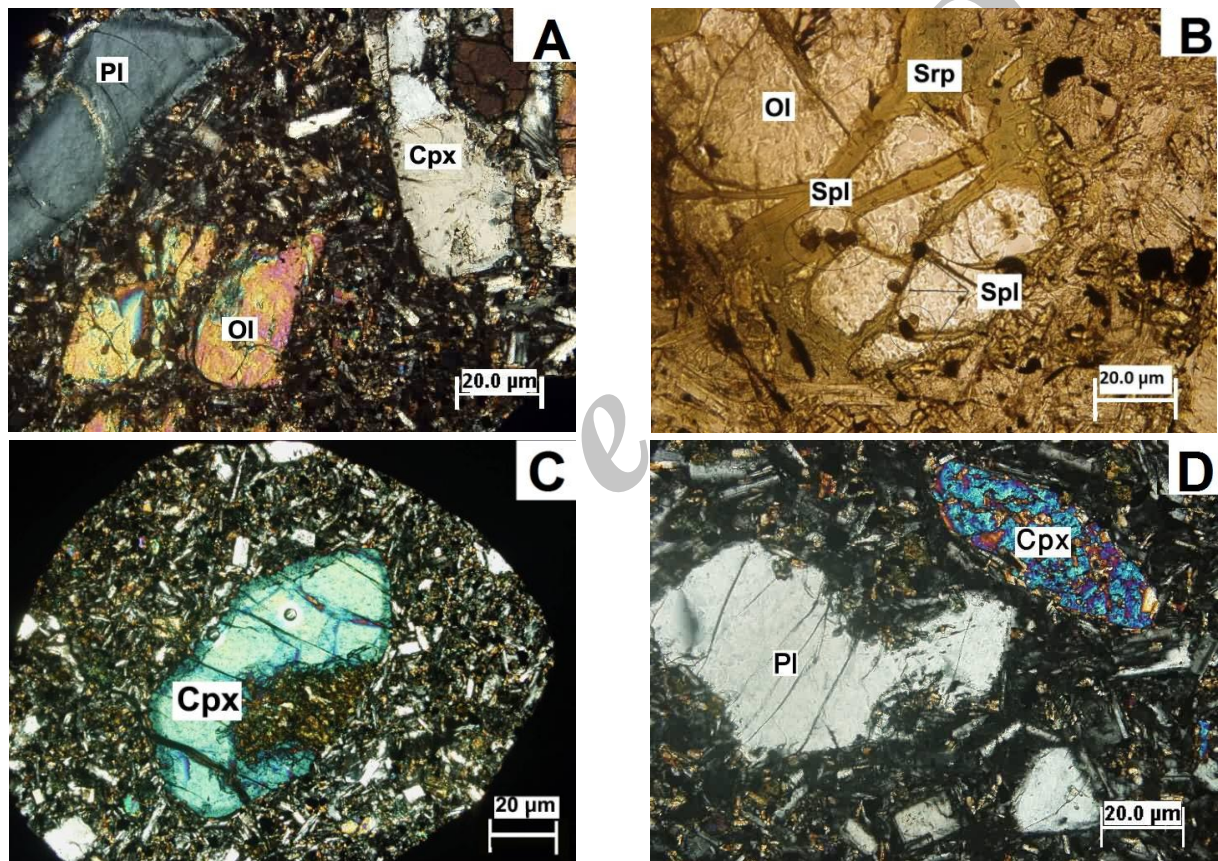
باالت تویره دارای فنوکریستهای الیوین، با ادخال‌هایی از اسپینل قهوه‌ای رنگ، کلینوپیروکسن و پلاژیوکلاز است که در میکرولیت‌هایی از همین کانی‌ها و کانی‌های ثانویه سرپانتین، زئولیت (ناترولیت و مزولیت) و مگنتیت تیتاندار قرار گرفته‌اند. بافت این سنگ‌ها پورفیریتیک، میکرولیتیک پورفیریتیک و پوی‌کیلیتیک است (شکل A-۴). بلورهای قهوه‌ای رنگ شکل دار تا نیمه شکل دار اسپینل به صورت ادخال در فنوکریستهای الیوین مشاهده می‌شود (شکل B-۴). این اسپینل‌ها ترکیب اسپینل-هرسینیت دارد و دارای  $\text{Al}_2\text{O}_3$  تا  $30/28$ ،  $\text{Mg}^{\#}$  تا  $57/48/66$  و  $\text{Fe}^{\#}$  تا  $15/91/55/34$  است (پیوست ۱). در بسیاری از بخش‌ها این کانی در اثر دگرسانی به مگنتیت تبدیل شده است. فنوکریستهای الیوین شکل دار تا نیمه شکل دار به صورت بخشی یا کامل به سرپانتین تبدیل شده‌اند (شکل B-۴). میانگین محتوای  $\text{CaO}$  و  $\text{Fe}^{\#}$  این اسپینل‌ها به ترتیب  $0.22 \text{ wt\%}$  و  $10/30$  است و ترکیب کریسوولیت دارد. در حالی که الیوین‌های موجود در زمینه ترکیب کریسوولیت-هیالوسیدریت دارد و مقدار  $\text{CaO}$  بیشتر و  $\text{Fe}^{\#}$  کمتر از فنوکریستهای الیوین دارد (به ترتیب  $0/36$  و  $18/38$  تا) (پیوست ۱). این ویژگی‌ها با تبلور فنوکریستهای الیوین در عمق بیشتر و تبلور میکرولیت‌ها در بخش‌های کم عمق‌تر سازگار است (Kohler and Brey, 1990). فنوکریستهای کلینوپیروکسن به صورت بلورهای شکل دار تا نیمه شکل دار و دارای زونینگ است (شکل C-۴). بررسی نتایج آنالیز نقطه‌ای این کانی نشان می‌دهد

## روش انجام پژوهش

به منظور بررسی ماهیت باالت کوه تویره پس از بررسی‌های صحرایی و نمونه‌برداری، مقاطع نازک برای کانی‌شناسی و بررسی پتروگرافی و از نمونه‌های مناسب مقاطع نازک صیقلی تهیه شد و با دستگاه آنالیز الکترون میکروپرور JEOL مدل JXA-8800 (WDS) دانشگاه کانازاوا ژاپن با ولتاژ شتاب دهنده  $20 \text{ kv}$  و جریان  $20 \text{ na}$  آنالیز شد که نتایج آن در پیوست‌های ۱ و ۲ آورده شده است. در محاسبه مقدار  $\text{Fe}^{3+}$  برای دسترسی به فرمول ساختاری کانی‌ها نیز از استوکیومتری کانی‌ها و روش‌های اریه شده توسط Droop (۱۹۸۷) و Spear (۱۹۹۵) استفاده شد. مقدار  $\text{Fe}^{\#}=100$   $\text{Fe}^{2+}/\text{Mg}^{\#}=100$   $\text{Mg}/(\text{Mg}+\text{Fe}^{2+})$   $\text{Fe}^{3+}\#=100$   $\text{Cr}/(\text{Cr}+\text{Al})$  و  $(\text{Fe}^{2+}+\text{Mg})$   $\text{Cr}^{\#}=100$  است. برای دستیابی به ترکیب عناصر اصلی، کمیاب و نادر خاکی سنگ کل نمونه‌های با دگرسانی کمتر انتخاب و با روش‌های ISP-AES و ICP-MS (به ترتیب: (Inductively Coupled Plasma Mass Spectrometry) (Inductively Coupled Plasma Atomic Emission Spectrometry) در آزمایشگاه Als Chemex کانادا آنالیز شد. برای حذف تأثیر زنولیت‌ها و زنوكربنیت‌های موجود در این سنگ‌ها قبل از انجام آنالیز این قطعات از نمونه‌های پودر شده جداسازی شد. در آنالیز انجام شده میزان آهن این سنگ‌ها به صورت  $\text{Fe}_2\text{O}_3^*$   $\text{Fe}_2\text{O}_3$  و  $\text{FeO}$  ارایه شده است. به منظور تفکیک  $\text{Fe}_2\text{O}_3$  از روابط ارایه شده توسط Le Maitre (۱۹۷۶) استفاده شده است. نتایج آنالیز سنگ کل در پیوست ۳ آورده شده است. عالیم اختصاری به کار رفته برای نام کانی‌ها بر گرفته از Whitney و Evans (۲۰۱۰) است.

(پیوست ۱). فنوکریست های پلازیوکلاز به صورت بلور های نیمه شکل دار تا بی شکل و با حاشیه های فورفتہ مشاهده می شود (شکل ۴-D). نتایج آنالیز نقطه ای این کانی نشان می دهد که فنوکریست ها (۴۴ تا ۶۶ An%) و همچنین، میکروولیت های پلازیوکلاز (۳۴ تا ۶۹ An%) عمدتاً ترکیب لابرادوریت دارد (پیوست ۱).

که در بخش های مرکزی ترکیب اوژیت و به سمت حاشیه دیوپسید دارد (پیوست ۱). تغییر در ترکیب فنوکریست های کلینوپیروکسن بیانگر تغییر در شرایط تبلور حین فوران و صعود مagma است. ترکیب کلینوپیروکسن های موجود در زمینه سنگ دیوپسید غنی از Al و شبیه به ترکیب حاشیه فنوکریست های کلینوپیروکسن است.



شکل ۴- تصاویر میکروسکوپی از بازالت آلکالن تویره، همه تصاویر در نور پلاریزه است.

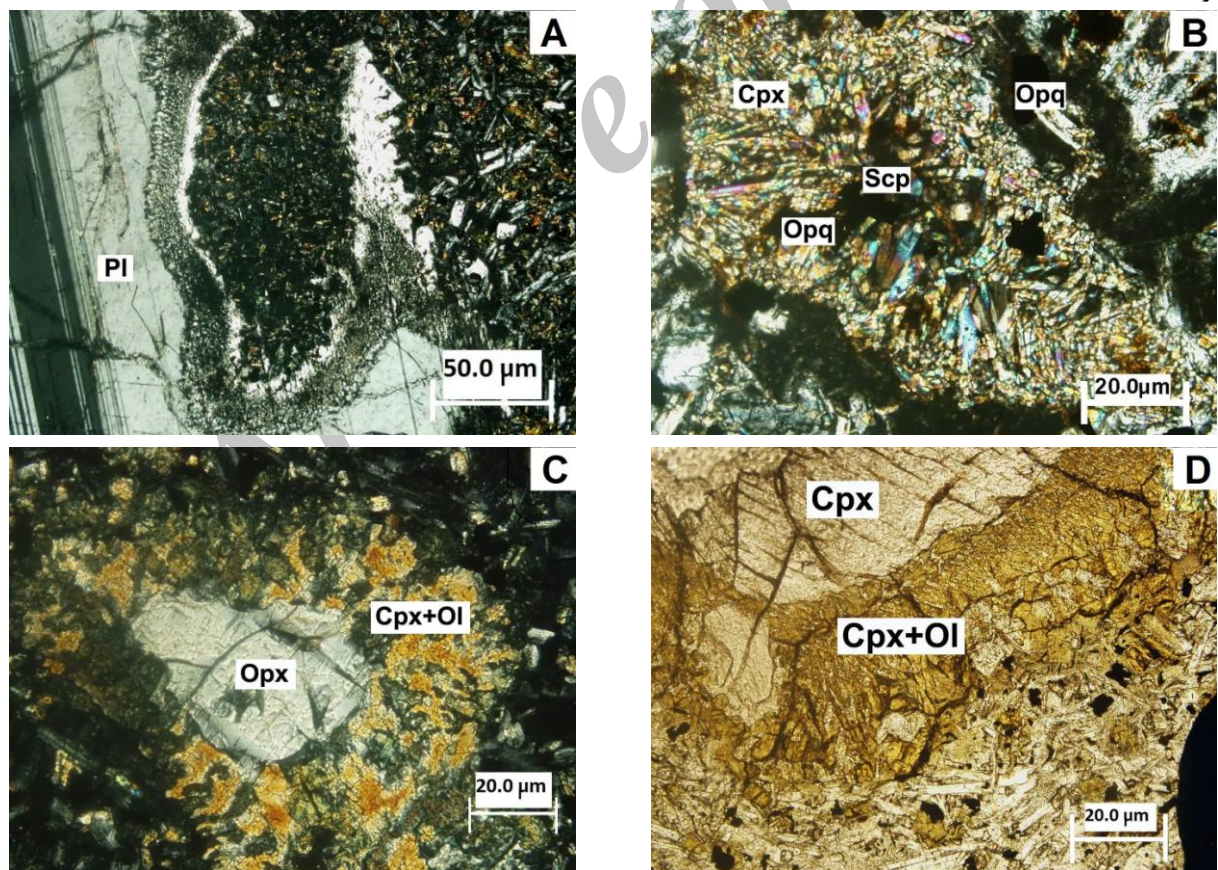
صورت مشاهده می شود: دسته اول مگاکریست هایی با ابعاد حدود ۵ سانتی متر و حاشیه های گرد شده، فورفتہ و بافت غربالی است (شکل ۴-A). آنالیز نقطه ای این دسته از زنوكریست ها نشان می دهد که از مرکز به حاشیه مقدار CaO آنها افزایش می یابد به گونه ای که در مرکز ترکیب آندزین (An% ۳۷) و به سمت حاشیه ترکیب لابرادوریت (An% ۶۸) دارد (پیوست ۲). اندازه، شکل و متفاوت بودن

### زنوكریست ها

پتروگرافی بازالت کوه تویره نشان می دهد که مagma های سازنده این سنگ ها حین صعود بلور های بیگانه ای از پلازیوکلاز و ارتوپیروکسن را از مسیر حرکت با خود حمل نموده، به سطح زمین آورده است. ترکیب این زنوكریست ها و بافت های واکنشی اطراف آنها دلیلی بر بیگانه بودن آنها با بازالت آلکالن حامل است. زنوكریست های پلازیوکلاز به دو

**ارتوبیروکسن:** در بسیاری از بخش‌های بازالت آلکالن توریره قطعاتی از ارتوبیروکسن با حاشیه‌ای واکنشی وجود دارد (شکل C-۵). این ارتوبیروکسن‌ها غنی از آهن ( $24\text{ wt\%}$  درصد~ $\text{FeO}$ ) و فقیر از  $\text{Al}_2\text{O}_3$  (۱/۲ تا ۱/۵  $\text{wt\%}$ ) است و ترکیب انسستاتیت دارد (پیوست ۲). حاشیه واکنشی اطراف این ارتوبیروکسن‌ها را کانی‌های الیوین و کلینوبیروکسن تشکیل داده‌اند. این کلینوبیروکسن‌ها ترکیب اوژیت دارد و به شدت فقیر از  $\text{Al}_2\text{O}_3$  (۰/۴۵ تا ۰/۲۵  $\text{wt\%}$ ) و  $\text{TiO}_2$  (۰/۲۷ تا ۰/۴۰  $\text{wt\%}$ ) است (پیوست ۲). الیوین موجود در این مجموعه‌ها دارای  $\text{Fe}^{\#} = 27$  (۳۰ تا ۲۷) و ترکیب کریسوکلیت دارد و در اثر دگرسانی به کلریت و سرپانتین تبدیل شده است.

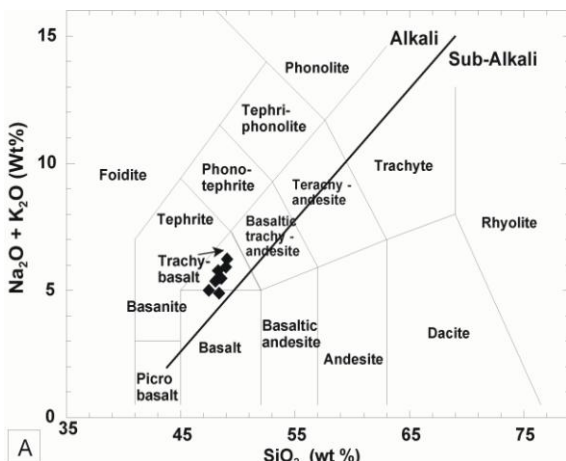
ترکیب این مگاکریستهای زنوکریستهای پلازیوکلاز بیانگر بیگانه بودن آنها با بازالت آلکالن میزبان است (Laughlin *et al.*, 1974). دسته دوم زنوکریستهای پلازیوکلازی است که در اطراف آنها کلینوبیروکسن‌های سوزنی‌شکل با چیدمانی شعاعی به همراه مگنتیت و ایلمینیت وجود دارد (شکل ۵-B). این پلازیوکلازها اغلب فقیر از مؤلفه آنورتیت است (۳ تا ۴۵  $\text{An\%}$ ) و در بیشتر بخش‌ها در اثر دگرسانی به اسکاپولیت تبدیل شده‌اند (شکل B-۵) و پیوست ۲). کلینوبیروکسن‌های سوزنی اطراف این پلازیوکلازها ترکیب دیوپسید داشته، برخلاف انواع موجود در زمینه بازالت آلکالن فقیر از  $\text{TiO}_2$  (۰/۱۲ تا ۰/۴۲  $\text{wt\%}$ ) و  $\text{Al}_2\text{O}_3$  (۱/۵ تا ۰/۰  $\text{wt\%}$ ) است (پیوست ۲).



شکل ۵- تصاویر میکروسکوپی از زنوکریستهای و اکتشی آنها در بازالت آلکالن توریره، تصاویر A، B و C در نور پلاریزه و تصویر D در نور طبیعی است.

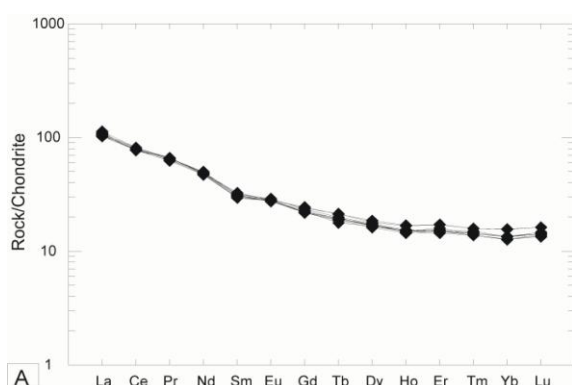
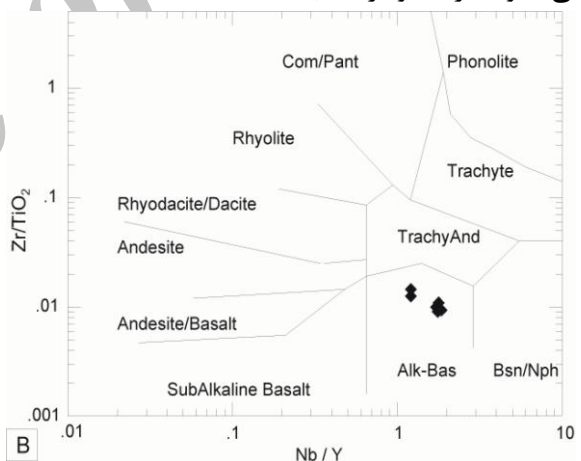
(Winchester Zr/TiO<sub>2</sub>-Nb/Y و Le Maitre, 2002)

and Floyd, 1977) نمونه‌های بررسی شده به ترتیب در محدوده تراکی‌بازالت و بازالت‌های آلکالن قرار می‌گیرد (شکل ۶). در کلیه نمونه‌ها نسبت LREE/HREE بالا (La/Yb = ۹/۶۴ تا ۹/۶۸) است و نمودار عناصر نادر خاکی بهنجار شده به کندریت آنها شبیب منفی دارد که نشان‌دهنده آلکالن بودن بازالت‌های موردن بررسی است (شکل ۷-۸). در نمودار عناصر ناسازگار بهنجار شده به HREE گوشه‌های اولیه، Cs، Ba و Rb (Rb/Cs) نسبت به HFSEs (Zr/Ti/Nb/Hf) غنی‌شدگی نشان می‌دهد و تهی شدگی ندارد (شکل ۷-۸). ویژگی‌های پتروگرافی، شیمی کانی‌ها و سنگ کل نمونه‌های بررسی شده بیانگر آلکالن بودن مagmaتیسم الیگوسن در شمال‌غرب CEIM در کوه تویره است.

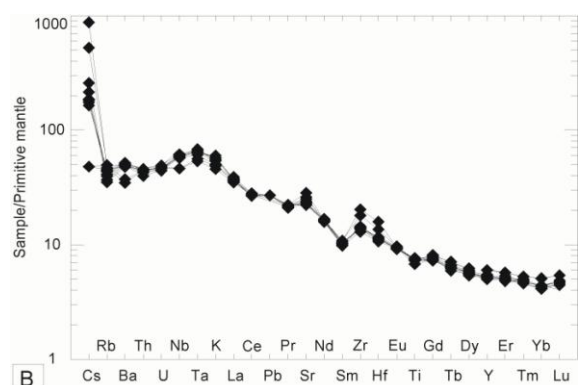


شکل ۶-۶- نامگذاری سنگ‌های ولکانیک کوه تویره، (A) در نمودار Total Alkalies-SiO<sub>2</sub>.TAS و (B) نمودار (Winchester and Floyd, 1977) Zr/TiO<sub>2</sub>-Nb/Y

بازالت آلکالن تویره دارای SiO<sub>2</sub> ۴۷/۴۰ تا ۴۹/۰ (wt%), Al<sub>2</sub>O<sub>3</sub> ۱۶/۶۵ (wt%) تا ۱۷/۷۰ (wt%) و TiO<sub>2</sub> ۱/۴۷ (wt%) است. مجموع عناصر آلکالی در این سنگ‌ها ۱/۶۶ (wt%) تا ۱/۶۶ (wt%) است. مقدار در خور توجه  $\text{TiO}_2 > \text{Na}_2\text{O}/\text{K}_2\text{O}$  است. عناصر آلکالی بیانگر ماهیت آلکالن و سدیک بودن بازالت‌های موردن بررسی است (پیوست ۳). مقدار LOI این سنگ‌ها ۳/۵ (wt%) تا ۴/۶ (wt%) اندازه‌گیری شده که ناشی از وجود کانی‌های ثانویه آب‌دار نظیر: زئولیت و سرپانتین است. با توجه به مقدار نسبتاً بالای LOI این سنگ‌ها در نامگذاری و بررسی‌های پتروژنتیکی علاوه بر عناصر اصلی از عناصر ناسازگار و نادر خاکی نیز استفاده می‌شود. در نمودارهای TotalAlkalies-SiO<sub>2</sub>, TAS, Com/Pant, Rhyolite, Rhyodacite/Dacite, Andesite, Andesite/Basalt, TrachyAnd, Alk-Bas, Bsn/Nph, Phonolite, Trachyte, and Basalts.



شکل ۷-۷- نمودار بهنجار شده به کندریت و (B) گوشه‌های اولیه بازالت آلکالن تویره. داده‌های کندریت (Mc Donough and Sun, 1995) و داده‌های گوشه‌های اولیه (Sun and Mc Donough, 1989)



شکل ۷-۷- نمودار بهنجار شده به کندریت و (B) گوشه‌های اولیه (Sun and Mc Donough, 1989)

با بازالت میزبان واکنش داده و حاشیه‌ای از کلینوپیروکسن و الیوین تشکیل می‌دهد. Shaw و همکاران (۱۹۹۸) تشکیل الیوین در این مجموعه را به دو فرآیند ذوب نامتجانس ارتوپیروکسن و همچنین، اختلاط ماقمای بازالتی با مذاب حاصل از ذوب ارتوپیروکسن نسبت می‌دهند. تشکیل کلینوپیروکسن نیز ناشی از انتشار عناصر Ca, K و Na از سمت بازالت میزبان به سمت حاشیه واکنشی ارتوپیروکسن است (Shaw *et al.*, 1998). تشکیل این قبیل حاشیه‌های واکنشی در اطراف زنوكریستهای ارتوپیروکسن در بازالت‌های آلکالن یکی از محصولات واکنش‌های متازوماتیزم گوشه است که در فشارهای پائین اتفاق می‌افتد (Arai and Abe, 1995). در این مجموعه‌ها اسپینل و مذاب اشباع از  $\text{SiO}_2$  نیز می‌تواند وجود داشته باشد که متأثر از ترکیب ارتوپیروکسن است. این ارتوپیروکسن‌ها قطعاتی از پریدوتیت‌های گوشه‌اند که بازالت میزبان آنها را از مسیر حرکت خود جدا، حمل و به صورت زنوكریست به سطح زمین آورده است (Arai and Abe, 1995).

#### منشأ و تکامل بازالت آلکالن توبیره

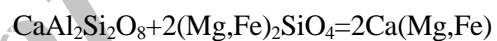
بررسی‌ها نشان داده است که افزایش محتوای Al و Ti در فازهای مافیک سنگ‌های آلکالن متأثر (Delor and Rock, 1991) از این رو می‌توان گفت بخش‌های میانی فنوکریستهای کلینوپیروکسن در فشار و اعماق بیشتر تشکیل شده‌اند در حالی که کلینوپیروکسن‌های زمینه و حاشیه فنوکریستهای در اعماق و فشار کمتر متبلور شده‌اند. افزایش  $\text{Al}^{VI}/\text{Al}^{IV}$  از حاشیه به مرکز فنوکریستهای کلینوپیروکسن نیز مؤید این ویژگی است (شکل ۸). مقادیر بیشتر  $\text{Al}^{VI}$  در مرکز کلینوپیروکسن‌ها با مقادیر کمتر  $\text{CaO}$  در بخش‌های میانی فنوکریستهای الیوین و عمق بیشتر تبلور آنها

#### بحث

#### بررسی تحولات زنوكریستهای موجود در بازالت آلکالن توبیره

بررسی زنوكریستهای موجود در بازالت آلکالن توبیره گویای تحولاتی است که حین صعود ماقمای به وقوع پیوسته‌اند.

**تشکیل کلینوپیروکسن‌های سوزنی در اطراف پلازیوکلاز:** در یک مذاب بازالتی که دارای فنوکریستهای الیوین و پلازیوکلاز است حین صعود ماقمای در اثر کاهش فشار سریع، پلازیوکلاز و الیوین مطابق با واکنش زیر با یکدیگر واکنش می‌دهد و کلینوپیروکسن و اسپینل تشکیل می‌شود (Mc Birney, 1973)



این واکنش تا مصرف کامل الیوین ادامه می‌یابد. بررسی‌ها نشان داده است که مؤلفه آنورتیت پلازیوکلاز نسبت به مؤلفه آلبیت آن در واکنش بیشتر مصرف می‌شود. در نهایت تحت تأثیر دگرسانی این پلازیوکلازها به اسکاپولیت و اسپینل‌ها به کانی‌های اپاک (مانند: مگنتیت و ایلمنیت) تبدیل می‌شود. در بازالت آلکالن توبیره پلازیوکلاز موجود در بخش میانی این مجموعه‌ها فقیر از مؤلفه آنورتیت است (An% ۳/۷ تا ۲/۹) و ترکیب سانیدین و به ندرت الیگوکلاز (An% ۴۵ تا ۲۰) دارد. اسکاپولیت حاصل از دگرسانی این پلازیوکلازها نیز غنی از سدیم است (پیوست ۲). وجود این مجموعه‌ها در بازالت بررسی شده گویای وقوع تحولات ساب‌سالیدوس حین صعود سریع ماقمای است (Mc Birney, 1973).

#### HASHIYE WA KESHAYI ATTRAFAH ARTOPIROKSEN:

بررسی‌ها نشان داده است که ارتوپیروکسن موجود در زنولیت‌های اولترامافیک و پریدوتیتی که توسط بازالت‌های آلکالن حمل می‌شود در فشارهای پائین

Mojtahedi et al., 2012) موجود در این بازالت‌ها دمای Powell, 1974) ۱۰۱۵ تا ۱۰۲۰ درجه سانتیگراد را نشان می‌دهد. فشارسنجی کلینوپیروکسان-پلازیوکلاز (Ellis, 1980) ۱۹۸۰ فشار ۴/۵ تا ۶/۵ کیلوبار را برای زمینه سنگ و فشار ۶/۳ تا ۱۶/۹۳ کیلوبار را برای فنوکریست‌ها نشان می‌دهد که بیانگر عمق بیشتر تبلور فنوکریست‌ها نسبت به میکروولیت‌های موجود در زمینه است.

#### محیط تکتونیک

در نمودارهای Th-Hf/3-Ta (Wood, 1980) و Zr-Zr/Y (Pearce and Norry, 1979) بازالت آلکالن تویره در محدوده بازالت‌های درون صفحه قاره‌ای قرار می‌گیرد (شکل ۱۰). غنی‌شدگی از LILE و نوسانات نسبت Cs/Rb و متازوماتیزم کربناته به وجود یک صفحه اقیانوسی فرورونده و سیالات آزاد (Tonarini et al., 2001) شده از آن نسبت داده می‌شود (Shaw et al., 2001, 2003). بررسی زمین‌شناسی منطقه گویای وجود دو پهنه فرورانش در منطقه است: ۱- فرورانش به سمت شمال‌شرق نئوتیس در امتداد پهنه درز زاگرس از ترباس تا اوسن (Torabi, 2010, 2009), ۲- فرورانش به سمت جنوب‌شرق پوسته اقیانوسی اطراف CEIM در امتداد گسل کویر بزرگ از ترباس تا اوسن (Torabi, 2003) Shirdashtzadeh et al., 2009) بقایای این اقیانوس به صورت مجموعه‌های افیولیتی نائین، سورک و عشین در حاشیه غربی CEIM رخمنون دارد (Torabi, 2010; Rajabi, 2010; Torabi, 2003) (Rajabi and Torabi, 2012).

با توجه به موقعیت زمین‌شناسی بازالت‌های بررسی شده می‌توان گفت فرورانش اقیانوس اطراف CEIM در امتداد گسل کویر بزرگ نزدیک‌ترین پهنه فرورانش به منطقه است. ولکانیسم آلکالن

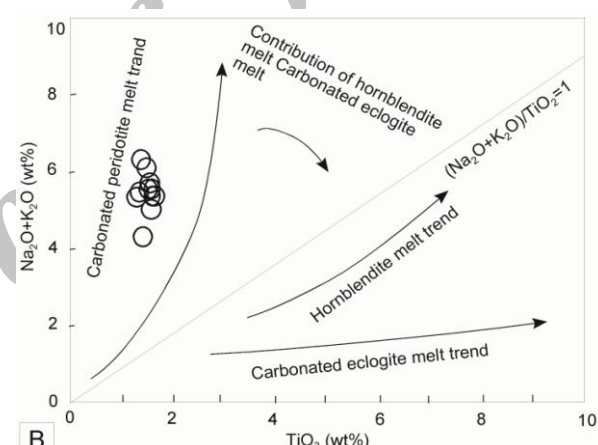
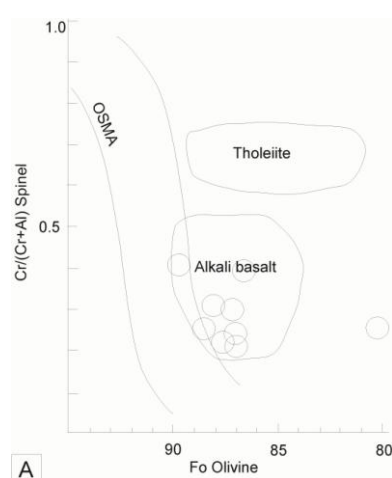
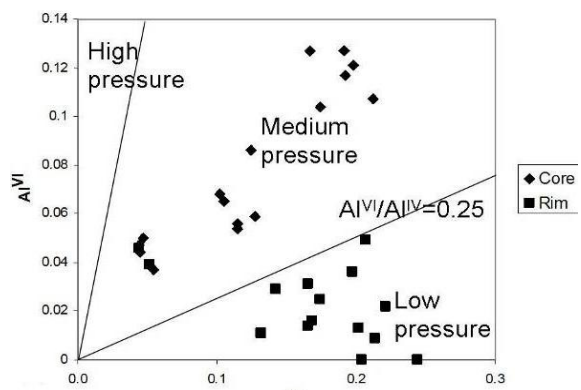
مطابقت دارد (Nimis, 1999). همچنین، خروج و کاهش فشار سریع مانع منجر به ذوب بخش‌های حاشیه‌ای پلازیوکلازها و ایجاد خلیج‌های خوردگی می‌شود (Vernon, 2004). اسپینل موجود در سنگ‌های ولکانیک یکی از شاخص‌های پتروژنیک در ارزیابی ترکیب اولیه مانع سازنده آن است (Arai, 1992). در نمودار # Cr# اسپینل در مقابل محتوای  $Fo_{\text{ليوین}}$  همزیست آن نمونه‌های مورد بررسی در محدوده بازالت‌های آلکالن و در نزدیک OSMA (Olivine-Spinel Mantle Arey) قرار می‌گیرد (شکل ۹-A). این ویژگی بیانگر تمایل آلکالی بازالت‌ها به حمل زنولیت‌های گوشته‌ای در مسیر صعودشان است (Arai, 1987).

وجود تهی‌شدگی از HREE نسبت به LREE و نسبت  $N_{\text{Tb/Yb}}$  در این بازالت‌ها (۱/۳۴ تا ۱/۵۲) حاصل ذوب گارنت‌لرزولیت بوده است (Frey et al., 1991; Mc Kenzie and O'Nions, 1995). عدم وجود تهی‌شدگی از HFSEs و مقادیر بالای La/Nb (۱/۳ تا ۱/۷) در این سنگ‌ها نشان‌دهنده تأثیر گوشته آستنوسفری بر سنگ منشأ مولد این بازالت‌ها است (Abdel-Fattah et al., 2004). مقدار در خور توجه  $TiO_2$  (۱/۵۸ تا ۱/۶۶)، نسبت بالای  $Zr/Hf$  (۴۳/۳ تا ۴۸/۰) و نوسانات مقدار Cs نشان می‌دهد که سنگ منشأ مولد بازالت آلکالن تویره تحت تأثیر متازوماتیزم کربناته ناشی از سیالات آزاد شده از یک صفحه اقیانوسی فرورونده قرار داشته است (Zeng et al., 2002; Salters et al., 2002) (B-۹) (شکل ۹-B). بر این اساس می‌توان گفت ولکانیسم الیگومن در شمال‌غرب CEIM حاصل ذوب بخشی یک گارنت‌لرزولیت در گوشته آستنوسفری است که تحت تأثیر متازوماتیزم کربناته قرار داشته است. دماسنجدی کلینوپیروکسان-الیوین (Powell and

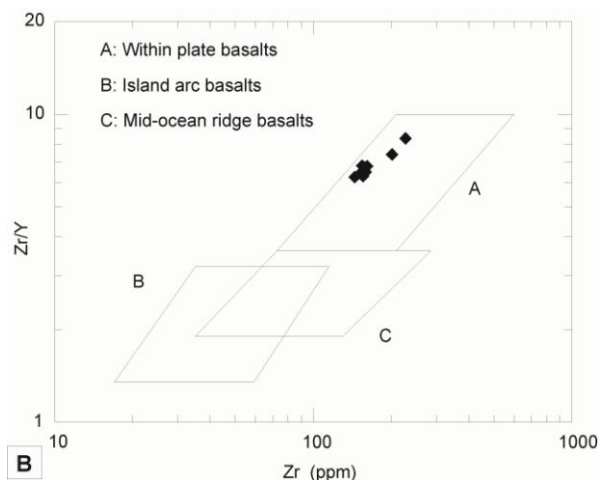
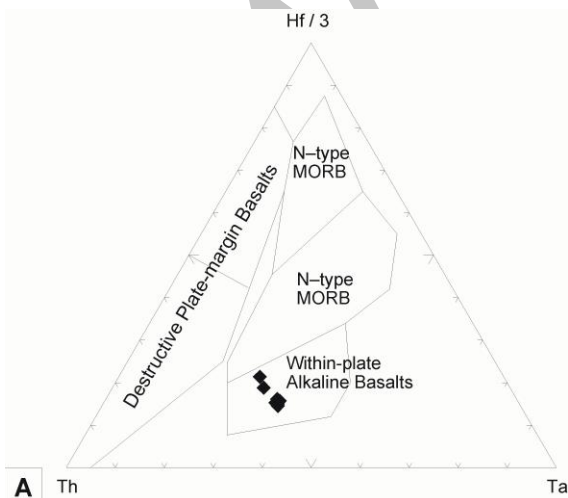
به سزاگی در کاهش فشار و صعود سریع مagma ای بازالت آلکالن و حمل زنولیت‌ها و زنوكربیست‌ها از مسیر حرکت magma داشته‌اند.

شکل ۸- نمودار  $\text{Al}^{\text{IV}}\text{-}\text{Al}^{\text{VI}}$  برای فنوکربیست‌های کلینوپیروکسن موجود در بازالت آلکالن تویره. (Aoki and Shiba, 1973)

الیگوسن در کوه تویره حاصل تأثیر یک رژیم کششی درون صفحه قاره در شمال غرب CEIM است. عملکرد گسل‌های کویر بزرگ و تویره نقش



شکل ۹- (A) موقعیت آلکالی بازالت تویره در نمودار # Fo-Cr(Arai, 1992) (B) قرار گیری نمونه‌های بازالت آلکالن تویره در نمودار (Zeng et al., 2010)  $\text{TiO}_2\text{-Total Alkalies}$



شکل ۱۰- موقعیت بازالت آلکالن در نمودارهای تفکیک محیط تکتونیک: (A) نمودار Hf/3-Th-Ta (Wood, 1980) و (B) نمودار Zr/Y-Zr (Pearce and Norry, 1979)

امتداد گسل کویر بزرگ نسبت داده می‌شود. وجود زنولیت و زنوكریست فراوان در این آلکالی بازالت بیانگر سرعت بالای صعود ماغما در یک پهنه کششی است. موقعیت قرارگیری این بازالت‌ها و گسل‌های کویر بزرگ و تویره نشان‌دهنده تأثیر عملکرد این گسل‌ها در ایجاد یک پهنه کششی درون صفحه قاره‌ای در بخش شمال‌غربی CEIM، کاهش فشار و صعود سریع ماغما است.

### سپاسگزاری

نویسنده‌گان مقاله از حمایت‌های معاونت پژوهش و فناوری دانشگاه اصفهان تشکر می‌نمایند.

### نتیجه‌گیری

با این آلکالن الیگوسن (کوه تویره) منطقه مناسبی برای مطالعه ماهیت ولکانیسم الیگوسن در شمال‌غرب CEIM است. نتایج بررسی‌های پتروگرافی، شیمی کانی‌ها و سنگ کل و همچنین، نتایج دما-فشار-سنگی نشان می‌دهد که تبلور کانی‌ها طی دو مرحله در فشار بالا و سپس حین صعود ماغما انجام گرفته است. این سنگ‌ها حاصل ذوب بخشی یک گارنت‌لرزولیت در گوشته آستنوسفری است که تحت تأثیر متازوماتیزم کربناته قرار داشته است. این غنی‌شدگی گوشته به تأثیر فروزانش اقیانوس محاط کننده CEIM از تریاس تا اوسن در

### منابع

- Abdel-Fattah, M., Abdel-rahman, A. M. and Nassar, P. E. (2004) Cenozoic volcanism in the Middle East: Petrogenesis of alkali basalts from Northern Lebanon. Geological Magazine 141: 545-63.
- Aistov, L., Melnikov, B., Krivyakin, B. and Morozov, L. (1984) Geology of the Khur area, Central Iran. Report no. 20, Geological Survey of Iran, Tehran
- Almasian, M. (1997) Tectonics of the Anarak area (central Iran). PhD thesis, Islamic Azad University, Science and Research Branch, Tehran, Iran.
- Aoki, K. and Shiba, I. (1973) Pyroxene from lherzolite inclusions of Itinomegata, Japan. Lithos 6: 41-51.
- Arai, S. (1987) An estimation of the least depleted spinel peridotites on the basis of olivine-spinel mantle array. Neues Jahrbuch für Geologie und Paläontologie-Abhandlungen 8: 347-354.
- Arai, S. (1992) Chemistry of chromian spinel in volcanic rocks as a potential guide to magma chemistry. Mineralogical Magazine 56: 173-184.
- Arai, S. and Abe, N. (1995) Reaction of orthopyroxene in peridotite xenoliths with alkali-basalt melt and its implication for genesis of alpine-type chromitite. American Mineralogist 80: 1041-1047.
- Davoudzadeh, M. (1997) Geology of Iran. In: Encyclopedia of Asian and European Regional Geology (eds. Moores, E. M. and Fairbridge, R. W.) 384-405. Chapman and Hall, London.
- Delor, C. P. and Rock, N. M. S. (1991) Alkaline-ultramafic lamprophyre dykes from the Vestfold Hills, Princess Elizabeth Land (east Antarctica): Primitive magmas of deep mantle origin. Antarctic Science 3: 419-432.
- Droop, G. T. R. (1987) A general equation for estimating  $\text{Fe}^{3+}$  concentrations in ferromagnesian silicates and oxides from microprobe analyses, using stoichiometric criteria. Mineralogical Magazine 51: 431-435.
- Ellis, D. J. (1980) Osumilite-sapphirine-quartz granulites from Enderby Land, Antarctica: P-T conditions of metamorphism, implications for garnet-cordierite equilibria and the evolution of the

- deep crust. Contributions to Mineralogy and Petrology 74: 201-210.
- Frey, F. A., Garcia, M. O., Wise, W. S., Kennedy, A., Gurriet, P. and Albareda, F. (1991) The evolution of Mauna Kea volcano, Hawaii: petrogenesis of tholeiitic and alkalic basalts. Journal of Geophysical Research 96: 14347-14375.
- Griffin, W. L., O'reilly, S. Y. and Ryan, C. G. (1999) The composition and origin of subcontinental lithospheric mantle. In: Mantle Petrology: Field Observations and High-Pressure Experimentation (Eds. Fei, Y., Berka, C. and Mysen, B.O.) Stony Brook, N. Y.: 13-45. The Geochemical Society, London.
- Hofmann, A. W. (1997) Mantle geochemistry-the message from oceanic volcanism. Nature 385: 219-229.
- Kohler, T. P. and Brey, G. P. (1990) Calcium exchange between olivine and clinopyroxene calibrated as a geothermobarometer for natural peridotites from 2 to 60 Kb with applications. Geochimica et Cosmochimica Acta 54: 2375-2388.
- Laughlin, A. W., Manzer, G. K. and Carden, L. R. (1974) Feldspar megacrysts in alkali basalts. Geological Society of America Bulletin 85: 413-416.
- Le Maitre, R. W. (2002) Igneous Rocks: A classification and glossary of terms, 2<sup>nd</sup> edition, Cambridge University Press, Cambridge.
- Le Maitre, R. W. (1976) The chemical variability of some common igneous rocks. Journal of Petrology 17: 589-637.
- Mahmoodabadi, L. (2009) Petrography and petrology Eocene volcanics from southwest of Jandaq (northeast Isfahan). MSc. thesis, University of Isfahan, Isfahan, Iran (in Persian).
- Mc birney, A. R. (1973) Factors governing the stability of plagioclase at high pressures as shown by spinel-gabbro xenoliths from the Kerguelan Archipelago. American Mineralogist 58: 271-276.
- Mc Donough, W. F. (1990) Constraints on the composition of the continental lithospheric mantle. Earth and Planetary Science Letters 101: 1-18.
- Mc Donough, W. F. and Sun, S. S. (1995) The composition of the earth. Chemical Geology 120: 223-253.
- Mckenzie, D. and O'Nions, R. K. (1995) The source regions of ocean island basalts. Journal of Petrology 36: 133-160.
- Middlemost, E. A. K. (1989) Iron oxidation ratios, norms and the classification of volcanic rocks. Chemical Geology 77: 19-26.
- Nimis, P. (1999) Clinopyroxene geobarometry of magmatic rocks, Part 2: Structural geobarometers for basic to acid, tholeiitic and mildly alkaline magmatic systems. Contributions to Mineralogy and Petrology 135: 62-74.
- Pearce, J. A. and Norry, M. J. (1979) Petrogenetic implications of Ti, Zr, Y and Nb variations in volcanic rocks. Contributions to Mineralogy and Petrology 69: 33-47.
- Powell, M. and Powell, R. (1974) An olivine-clinopyroxene geothermometer. Contributions to Mineralogy and Petrology 48: 249-263.
- Rajabi, S. (2010) Petrology of mantle peridotites and volcanic rocks of the Surk ophiolitic melange (the Yazd province). MSc. thesis, University of Isfahan, Isfahan, Iran (in Persian).
- Rajabi, S. and Torabi, G. (2012) Petrology of mantle peridotites and volcanic rocks of the narrowest Mesozoic ophiolitic zone from Central Iran (Surk area, Yazd province). Neues Jahrbuch für Geologie und Paläontologie-Abhandlungen 265/1: 49-78.

- Ramezani, J. and Tucker, R. D. (2003) The Saghand region, central Iran: U-Pb geochronology, petrogenesis and implications for Gondwana tectonics. *American Journal of Science* 303: 622-665.
- Salters, V. J. M., Longhi, J. E. and Bizimis, M. (2002) Near mantle solidus trace element partitioning at pressures up to 3.4 GPa. *Geochemistry Geophysics Geosystems* 3(7):1-23.
- Shaw, A. M., Hilton, D. R., Fischer, T. P., Walker, J. A. and Alvarado, G. E. (2003) Contrasting H-C relationships in Nicaragua and Costa Rica: insights into C cycling through subduction zones. *Earth and Planetary Science Letters* 214: 499-513.
- Shaw, C. S. J., Thibault, Y., Edgar, A. D. and Lloyd, F. E. (1998) Mechanisms of orthopyroxene dissolution in silica-undersaturated melts at 1 atmosphere and implications for the origin of silica-rich glass in mantle xenoliths. *Contributions to Mineralogy and Petrology* 132: 354-370.
- Shirdashtzadeh, N., Torabi, G. and Arai, S. (2009) Metamorphism and metasomatism in the Jurassic of Nain ophiolithic mélange, Central Iran. *Neues Jahrbuch für Geologie und Paläontologie-Abhandlungen* 3: 255-275.
- Shirdashtzadeh, N., Torabi, G. and Arai, S. (2011) Two Mesozoic oceanic phases recorded in the basic and metabasic rocks of the Nain and Ashin-Zavar ophiolitic mélanges (Isfahan province, Central Iran). *Ophioliti* 36(2): 191-205.
- Spear, F. S. (1995) Metamorphic phase equilibria and pressure-temperature-time paths. *Mineralogical Society of America, America*.
- Spera, F. J. (1984) Carbon dioxide in petrogenesis III: role of volatiles in the ascent of alkaline magma with special reference to xenolith-bearing mafic lavas. *Contributions to Mineralogy and Petrology* 88: 217-232.
- Sun, S. S. and Mc Donough, W. F. (1989) Chemical and isotopic systematics of oceanic basalts: implications for mantle composition and processes. In: *Magmatism in ocean basins* (Eds. Saunders A. D. and Norry M. J.) Special Publications 42: 313-45. Geological Society, London.
- Tonarini, S., Armienti, P., D'Orazio, M. and Innocenti, F. (2001) Subduction-like fluids in the genesis of Mt. Etna magmas: evidence from boron isotopes and fluid mobile elements. *Earth and Planetary Science Letters* 192: 471-83.
- Torabi, G. (2009) Subduction-related Eocene shoshonites from the Cenozoic Urumieh-Dokhtar magmatic arc (Qaleh-Khargooshi area, West of the Yazd province, Iran). *Turkish Journal of Earth Science* 18: 583-613.
- Torabi, G. (2010) Early Oligocene alkaline lamprophyric dykes from the Jandaq area (Isfahan Province, Central Iran): Evidence of Central-East Iranian microcontinent confining oceanic crust subduction. *Island Arc* 19: 277-291.
- Torabi, G., Shirdashtzadeh, N., Arai, S. and Koepke, J. (2011) Paleozoic and Mesozoic ophiolites of Central Iran: amphibolites from Jandaq, Posht-e-Badam, Nain and Ashin ophiolites. *Neues Jahrbuch für Geologie und Paläontologie-Abhandlungen* 261(1): 129-150.
- Torabi, Gh. (2003) Petrology of Anarak area ophiolites (central Iran, NE of Isfahan Province). PhD thesis, Tarbiat Modares University, Tehran, Iran,
- Turner, S. and Hawkesworth, C. (1995) The nature of the sub-continental mantle: constraints from the major element composition of continental flood basalts. *Chemical Geology* 120: 295-314.
- Vernon, R. H. (2004) A practical guide to rock microstructure. Cambridge University Press, Cambridge.
- Whitney, D. L., and Evans, B. W. (2010) Abbreviations for names of rock-forming minerals. *www.SID.ir*

- American Mineralogist 95: 185-187.
- Winchester, J. A. and Floyd, P. A. (1977) Geochemical Discrimination of Different Magma Series and Their Differentiation Products using Immobile Elements. Chemical Geology 20: 325-343.
- Wood, D. A. (1980) The application of a Th-Hf-Ta diagram to problems of tectonomagmatic classification. Earth and Planetary Science Letters 50: 1-30.
- Yan, J. and Zhao J-X. (2008) Cenozoic alkali basalts from Jingpohu, NE China: The role of lithosphere-sthenosphere interaction. Journal of Asian Earth Sciences 33: 106-121.
- Zeng, G., Chen, L-H., Xu, X-Sh., Jiang, Sh-Y. and Hofmann, A. W. (2010) Carbonated mantle sources for Cenozoic intra-plate alkaline basalts in Shandong, North China. Chemical Geology 273: 35-45.

پیوست ۱- نتایج آنالیز نقطه‌ای و محاسبه فرمول ساختاری اسپینل، الیوین، کلینوپیروکسن، پلازیوکلаз، مگنتیت تیتان‌دار، سرپاتین و زئولیت موجود در بازالت آلکالن تویره، شمال‌غرب CEIM

Mineral abbreviation: Spl: Spinel, Ol: Olivine, Cpx: Clinopyroxene, Pl: Plagioclase, Srp: Serpentine

Mineral	Spl in Ol phenocryst	Spl in Ol phenocryst	Mineral	Core of the Cpx phenocryst	Rim of the Cpx phenocryst	Cpx of matrix	Mineral	Ol phenocryst	Ol of matrix
SiO <sub>2</sub>	0.1	0.08	SiO <sub>2</sub>	52.37	48.87	46.46	SiO <sub>2</sub>	40.26	36.6
TiO <sub>2</sub>	0.55	0.64	TiO <sub>2</sub>	0.34	2.29	3.38	TiO <sub>2</sub>	0	0.05
Al <sub>2</sub> O <sub>3</sub>	42.96	30.28	Al <sub>2</sub> O <sub>3</sub>	2.21	5.37	6.29	Al <sub>2</sub> O <sub>3</sub>	0.03	0.02
Cr <sub>2</sub> O <sub>3</sub>	15.91	34.55	Cr <sub>2</sub> O <sub>3</sub>	0	0.23	0.04	Cr <sub>2</sub> O <sub>3</sub>	0	0
FeO*	25.92	19.86	FeO*	11.69	7.58	9.22	FeO*	10.46	32.89
MnO	0.28	0.21	MnO	0.49	0.16	0.19	MnO	0.15	0.77
MgO	13.57	14.2	MgO	13.41	13.41	12.03	MgO	48.63	30.16
CaO	0.02	0.01	CaO	18.75	22.28	21.42	CaO	0.24	0.4
Na <sub>2</sub> O	0	0.01	Na <sub>2</sub> O	0.9	0.52	0.62	Na <sub>2</sub> O	0	0.02
K <sub>2</sub> O	0	0	K <sub>2</sub> O	0	0	0.01	K <sub>2</sub> O	0	0
NiO	0.1	0.16	NiO	0	0	0.02	NiO	0.31	0.02
Total	99.41	100	Total	100.16	100.71	99.68	Total	100.08	100.94
Oxygen	32	32	Oxygen	6	6	6	Oxygen	4	4
Si	0.003	0.002	Si	1.953	1.803	1.746	Si	0.991	0.997
Ti	0.012	0.014	Ti	0.01	0.064	0.096	Ti	0	0.001
Al	1.435	1.055	Al <sup>IV</sup>	0.047	0.197	0.254	Al	0.001	0.001
Cr	0.356	0.807	Al <sup>VI</sup>	0.05	0.036	0.025	Cr	0	0
Fe <sup>3+</sup>	0.18	0.105	Cr	0	0.007	0.001	Fe <sup>2+</sup>	0.215	0.749
Fe <sup>2+</sup>	0.435	0.386	Fe <sup>3+</sup>	0.042	0.064	0.082	Mn	0.003	0.018
Mn	0.007	0.005	Fe <sup>2+</sup>	0.322	0.169	0.208	Mg	1.785	1.224
Mg	0.573	0.626	Mn	0.015	0.005	0.006	Ca	0.006	0.012
Ca	0	0	Mg	0.746	0.737	0.674	Na	0	0.001
Na	0	0	Ca	0.749	0.881	0.863	K	0	0
K	0	0	Na	0.065	0.037	0.045	Ni	0.006	0.001
Total	3	3	K	0	0	0	Total	3.007	3.004
Mg#	56.863	61.865	Ni	0	0	0.001	Fe#	11	38
Fe#	43.137	38.135	Total	4	4	4	Mg#	89	62
Cr#	19.898	43.356	WO	39.961	47.423	47.071			
Fe <sup>3+</sup> #	9.111	5.343	EN	39.766	39.715	36.783			
			FS	20.273	12.863	16.145			

Mineral	Pl phenocryst	Pl of matrix	Mineral	Titano-Magnetite	Mineral	Srp	Mineral	Natrolite	Mesolite
SiO <sub>2</sub>	51.41	50.99	SiO <sub>2</sub>	0.07	SiO <sub>2</sub>	53.34	SiO <sub>2</sub>	46.84	46.87
TiO <sub>2</sub>	0.1	0.06	TiO <sub>2</sub>	25.58	TiO <sub>2</sub>	0.02	TiO <sub>2</sub>	0	0
Al <sub>2</sub> O <sub>3</sub>	30.27	31.15	Al <sub>2</sub> O <sub>3</sub>	1.61	Al <sub>2</sub> O <sub>3</sub>	0.03	Al <sub>2</sub> O <sub>3</sub>	29.89	29.18
FeO*	0.55	0.46	Cr <sub>2</sub> O <sub>3</sub>	0	Cr <sub>2</sub> O <sub>3</sub>	0	FeO*	0	0.01
MnO	0	0.01	FeO*	66.95	FeO*	14.74	MnO	0	0
MgO	0.06	0.05	MnO	1.33	MnO	0.07	MgO	0	0
CaO	13.7	14.22	MgO	0.03	MgO	22.36	CaO	0.69	5.54
Na <sub>2</sub> O	3.67	3.41	CaO	0.21	CaO	0.23	Na <sub>2</sub> O	13.55	7.87
K <sub>2</sub> O	0.33	0.25	Na <sub>2</sub> O	0	Na <sub>2</sub> O	0.12	K <sub>2</sub> O	0.02	0
Total	100.09	100.6	K <sub>2</sub> O	0.04	K <sub>2</sub> O	0.02	Total	91	89.47
Oxygen	8	8	Total	95.82	NiO	0.13	Oxygen	12	38
Si	2.344	2.314	Oxygen	4	Total	91.04	Si	2.958	8.692
Ti	0.003	0.002	Si	0.003	Oxygen	7	Ti	0	0
Al	1.625	1.664	Ti	0.734	Si	2.678	Al	2.32	6.378
Fe <sup>2+</sup>	0.021	0.017	Al	0.072	Ti	0.001	Fe <sup>3+</sup>	0.002	0.001
Fe <sup>3+</sup>	0	0	Cr	0	Al	0.002	Fe <sup>+2</sup>	0	0
Mn	0	0	Fe <sup>3+</sup>	0.457	Fe <sup>3+</sup>	0	Mn	0	0
Mg	0.004	0.003	Fe <sup>+2</sup>	1.679	Fe <sup>2+</sup>	0.619	Mg	0	0
Ca	0.669	0.691	Mn	0.043	Mn	0.003	Ca	0.164	1.101
Na	0.324	0.3	Mg	0.002	Mg	1.673	Na	1.556	2.829
K	0.019	0.014	Ca	0.009	Ca	0.012	K	0.001	0
Total	5.009	5.005	Na	0	Na	0.012	Total	7.001	19.001
Ab	32	29.9	K	0.002	K	0.001			
An	66.1	68.8	Total	3.001	Total	5.001			
Or	1.9	1.4							

پیوست ۲- نتایج آنالیز نقطه‌ای و محاسبه فرمول ساختاری زنوكریست‌ها و کانی‌های واکنشی اطراف آنها در بازالت آلکالان تویره، شمال‌غرب CEIM (A) ترکیب مگاکریست پلازیوکلаз از مرکز به حاشیه و ترکیب زنوكریست فلدسپار، کلینوپیروکسن‌های سوزنی شکل واکنشی اطراف آن و اسکاپولیت حاصل از دگرسانی آن.

**A**

Type of xenocryst	Plagioclase megacryst			Feldspar xenocryst with reactionic needle-shape clinopyroxene and secondary scapolite					
Mineral	Megacryst of Pl Core to Rim			Mineral	Sanidine	Mineral	Needle Cpx	Mineral	Scp
SiO <sub>2</sub>	58.85	54.35	50.6	SiO <sub>2</sub>	65.7	SiO <sub>2</sub>	51.61	SiO <sub>2</sub>	53.16
TiO <sub>2</sub>	0.01	0.06	0.08	TiO <sub>2</sub>	0.09	TiO <sub>2</sub>	1.28	TiO <sub>2</sub>	0
Al <sub>2</sub> O <sub>3</sub>	25.65	28.48	30.81	Al <sub>2</sub> O <sub>3</sub>	19.5	Al <sub>2</sub> O <sub>3</sub>	2.66	Al <sub>2</sub> O <sub>3</sub>	28.02
FeO*	0.2	0.48	0.54	FeO*	0.27	Cr <sub>2</sub> O <sub>3</sub>	0.27	FeO*	0.13
MnO	0	0.01	0	MnO	0	FeO*	6.42	MnO	0.01
MgO	0.02	0.03	0.06	MgO	0	MnO	0.18	MgO	0.11
CaO	7.53	11.27	13.97	CaO	0.7	MgO	14.9	CaO	0.22
Na <sub>2</sub> O	6.51	4.85	3.42	Na <sub>2</sub> O	5.15	CaO	22.7	Na <sub>2</sub> O	10.36
K <sub>2</sub> O	0.93	0.43	0.23	K <sub>2</sub> O	9	Na <sub>2</sub> O	0.5	K <sub>2</sub> O	0.03
Total	99.7	99.96	99.71	Total	100.4	K <sub>2</sub> O	0	Total	92.04
Oxygen	8	8	8	Oxygen	8	NiO	0.02	Oxygen	16
Si	2.641	2.461	2.316	Si	2.957	Total	100.52	Si	5.11
Ti	0	0.002	0.003	Ti	0.003	Oxygen	6	Ti	0
Al	1.356	1.519	1.661	Al	1.034	Si	1.895	Al	3.174
Fe <sup>3+</sup>	0	0	0	Fe <sup>3+</sup>	0	Ti	0.035	Fe <sup>3+</sup>	0
Fe <sup>2+</sup>	0.008	0.018	0.021	Fe <sup>2+</sup>	0.01	Al	0.115	Fe <sup>2+</sup>	0.011
Mn	0	0	0	Mn	0	Cr	0.008	Mn	0.001
Mg	0.001	0.002	0.004	Mg	0	Fe <sup>3+</sup>	0.052	Mg	0.016
Ca	0.362	0.547	0.685	Ca	0.034	Fe <sup>2+</sup>	0.145	Ca	0.022
Na	0.567	0.426	0.304	Na	0.449	Mn	0.005	Na	1.931
K	0.053	0.025	0.013	K	0.517	Mg	0.815	K	0.004
Total	4.988	5	5.007	Total	5.004	Ca	0.893	Total	10.269
Ab	57.7	42.7	30.3	Ab	44.9	Na	0.036		
An	36.9	54.8	68.4	An	3.4	K	0		
Or	5.4	2.5	1.3	Or	51.7	Ni	0.001		
					Total	4			
					WO	46.725			
					EN	42.675			
					FS	10.6			

ادامه پیوست ۲ - (B) ترکیب زنوكریست ارتوبیروکسن، کلینوپیروکسن و الیوین واکنشی اطراف آن و کلریت حاصل از دگرسانی.

**B**

Orthopyroxene xenocryst with reactionic clinopyroxene and olivine and secondary chlorite						
Mineral	Opx	Cpx	Mineral	Ol	Mineral	Chl
SiO <sub>2</sub>	52.1	54.08	SiO <sub>2</sub>	37.78	SiO <sub>2</sub>	39.49
TiO <sub>2</sub>	0.19	0.27	TiO <sub>2</sub>	0.02	TiO <sub>2</sub>	0.24
Al <sub>2</sub> O <sub>3</sub>	1.64	0.25	Al <sub>2</sub> O <sub>3</sub>	0	Al <sub>2</sub> O <sub>3</sub>	16.61
Cr <sub>2</sub> O <sub>3</sub>	0	0	FeO*	24.47	FeO*	16.29
FeO*	23.95	11.75	MnO	0.45	MnO	0.25
MnO	0.53	0.44	MgO	37.33	MgO	13.57
MgO	20.47	19.18	CaO	0.4	CaO	2.71
CaO	1.14	14.15	Na <sub>2</sub> O	0	Na <sub>2</sub> O	1.2
Na <sub>2</sub> O	0.07	0.33	K <sub>2</sub> O	0	K <sub>2</sub> O	1.46
K <sub>2</sub> O	0	0	NiO	0.05	Total	91.82
NiO	0	0	Total	100.5	Oxygen	28
Total	100.09	100.46	Oxygen	4	Si	8.465
Oxygen	6	6	Si	0.991	Ti	0.039
Si	1.956	1.981	Ti	0	Al <sup>IV</sup>	0
Ti	0.005	0.007	Al	0	Al <sup>VI</sup>	4.193
Al	0.073	0.011	Fe <sup>2+</sup>	0.537	Fe <sup>3+</sup>	0
Cr	0	0	Mn	0.01	Fe <sup>2+</sup>	2.92

Orthopyroxene xenocryst with reactionic clinopyroxene and olivine and secondary chlorite						
Mineral	Opx	Cpx	Mineral	Ol	Mineral	Chl
Fe <sup>3+</sup>	0.009	0.036	Mg	1.459	Mn	0.045
Fe <sup>2+</sup>	0.743	0.325	Ca	0.011	Mg	4.337
Mn	0.017	0.014	Na	0	Ca	0.622
Mg	1.145	1.047	K	0	Na	0.499
Ca	0.046	0.556	Ni	0.001	K	0.399
Na	0.005	0.024	Total	3.009	Total	21.519
K	0	0	Fe#	27	Fe#	40
Ni	0	0	Mg#	73	Mg#	60
Total	4	4				
WO	2.335	28.103				
EN	58.446	52.988				
FS	39.218	18.91				

## پیوست ۳- نتایج آنالیز سنگ کل بازالت آلکالن کوه تویره، شمال غرب CEIM

Name	B406	B407	B408	B409	B411	B416	B416-1	B417	B418	B419
SiO <sub>2</sub>	49.00	48.90	48.30	48.40	48.20	47.40	48.30	48.50	47.98	48.11
TiO <sub>2</sub>	1.58	1.61	1.60	1.60	1.60	1.47	1.60	1.62	1.66	1.63
Al <sub>2</sub> O <sub>3</sub>	17.60	17.70	17.70	17.50	17.45	16.65	17.45	17.50	17.54	17.38
Fe <sub>2</sub> O <sub>3</sub> *	8.61	8.59	8.50	8.55	8.84	8.33	8.67	8.88	8.63	8.44
MnO	0.15	0.15	0.18	0.16	0.15	0.16	0.16	0.16	0.17	0.15
MgO	5.86	5.80	6.95	6.60	6.87	5.78	6.61	6.85	6.72	6.67
CaO	7.38	7.67	8.39	7.90	7.96	7.71	8.04	8.09	8.10	7.84
Na <sub>2</sub> O	4.86	4.46	3.09	3.99	4.29	3.36	3.78	3.85	3.69	3.72
K <sub>2</sub> O	1.38	1.46	1.81	1.52	1.50	1.65	1.73	1.63	1.68	1.72
P <sub>2</sub> O <sub>5</sub>	0.46	0.45	0.47	0.48	0.47	0.43	0.49	0.50	0.49	0.46
LOI	4.05	3.85	4.26	3.68	3.98	4.66	4.08	3.70	3.50	3.81
Total	100.93	100.64	101.25	100.38	101.31	97.6	100.91	101.28	100.16	99.93
Cr	140	140	210	200	200	210	210	210	214	204
Co	39.10	38.70	38.20	39.80	43.90	40.40	44.90	41.40	39.54	42.12
Ni	76	72	106	114	109	111	108	112	118	115
V	185	186	187	186	187	191	190	192	185	194
Rb	29.70	31.50	28.60	22.30	23.40	28.70	27.60	26.10	25.18	28.04
Cs	6.91	4.14	0.38	1.70	2.04	1.30	1.44	1.47	1.38	1.45
Ba	243	261	341	335	343	361	346	352	345	358
Sr	489	597	549	469	477	530	476	477	505	496
Ta	2.20	2.30	2.60	2.80	2.50	2.80	2.70	2.80	2.65	2.73
Nb	33.00	33.00	41.60	42.60	40.80	43.80	42.80	43.90	42.18	41.06
Hf	4.90	4.20	3.60	3.40	3.30	3.50	3.50	3.60	3.46	3.54
Zr	228	202	158	153	145	160	158	156	155	162
Th	3.80	3.74	3.63	3.86	3.39	3.87	3.72	3.90	3.76	3.82
Y	27.30	27.30	23.50	23.70	23.20	24.60	24.10	24.80	22.79	23.88
Pb	5	5	5	5	5	5	5	-	-	-
U	0.98	1.01	0.97	0.98	0.94	0.98	0.93	1.03	0.99	0.97
La	24.10	24.60	24.80	25.70	24.90	26.70	26.00	26.80	25.09	25.56
Ce	47.60	48.60	47.30	47.50	47.20	49.90	48.00	49.60	48.11	49.52
Pr	5.98	6.13	5.78	6.15	5.82	6.13	6.09	6.07	5.91	6.14
Nd	22.10	22.40	21.50	22.20	21.40	22.60	22.10	22.80	21.73	21.90
Sm	4.78	4.82	4.40	4.60	4.36	4.57	4.58	4.67	4.42	4.51
Eu	1.59	1.60	1.58	1.59	1.56	1.58	1.54	1.63	1.55	1.56
Gd	4.85	4.74	4.33	4.50	4.40	4.37	4.35	4.65	4.47	4.38
Tb	0.76	0.77	0.67	0.70	0.69	0.71	0.68	0.72	0.64	0.71
Dy	4.58	4.42	3.98	4.24	4.13	4.12	4.14	4.31	4.08	4.15
Ho	0.92	0.91	0.79	0.82	0.80	0.83	0.81	0.84	0.83	0.83
Er	2.75	2.74	2.41	2.55	2.31	2.42	2.40	2.40	2.46	2.37
Tm	0.39	0.39	0.34	0.35	0.34	0.35	0.34	0.35	0.37	0.36
Yb	2.50	2.51	2.03	2.17	2.06	2.17	2.05	2.18	2.16	2.15
Lu	0.40	0.40	0.34	0.36	0.34	0.35	0.33	0.35	0.36	0.35

# Petrology of Toveireh alkaline basalt an evidence of within-plate Oligocene volcanism in the northwest of Central-East Iranian Microcontinent, southwest of Jandaq

Samineh Rajabi and Ghodrat Torabi \*

Department of Geology, Faculty of Sciences, University of Isfahan, Isfahan, Iran

## Abstract

In the northwest of the Central-East Iranian Microcontinent (CEIM), southwest of Jandaq, the Toveireh Oligocene alkaline basalt with NW-SE to W-E trend is outcropped. This alkaline basalt with porphyritic, poikilitic and microlithic porphyritic textures have olivine (chrysolite), clinopyroxene (diopside and augite), plagioclase (labradorite) and spinel as primary minerals and titanomagnetite, serpentine and zeolite as secondary phases. The rock in question is enriched in alkalis ( $\text{Na}_2\text{O}+\text{K}_2\text{O}$ ),  $\text{TiO}_2$ , LILE (Cs, Rb and Ba), HFSE (Ti, Nb, Hf and Zr) with high ratio of LREE/HREE (Light Rare Earth Elements/Heavy Rare Earth Element) ( $\text{La/Yb}=9.64-12.68$ ). The chemical composition of these rocks indicates that the primary magma of the Toveireh alkaline basalt is produced by partial melting of carbonated garnet lherzolite of asthenospheric mantle. The geological situation of the study area suggests that the subduction of oceanic crust along the Great Kavir Fault from the Triassic to the Eocene caused carbonate metasomatism and mantle enrichment. The presence of abundant xenoliths, xenocrysts and the reaction textures show fast magma rising. The activity of Great Kavir and the Toveireh faults in an extensional system in the NW of CEIM can be accounted for the Oligocene alkaline magmatism.

**Key words:** Alkaline basalt, Oligocene, Xenocryst, Jandaq, Central-East Iranian Microcontinent